

## ИЗМЕРЕНИЕ ПЕРИОДА ПОЛУРАСПАДА НЕЙТРОНА

*Л.Н.Бондаренко, В.В.Кургузов, Ю.А.Прокофьев,  
Е.В.Рогов, П.Е.Сливак*

На пучке нейтронов реактора ИРТМ методом регистрации протонов был измерен период полураспада нейтрона. В результате получено значение  $T_{1/2} = 10,13 \pm 0,09$  мин. Вычисленное отношение  $G_A^*/G_V^* = 1,279 \pm 0,006$ .

Известное сейчас наиболее точное значение периода полураспада нейтрона  $T_{1/2} = 10,61 \pm 0,16$  мин было получено в работе [1]. В этой работе с помощью детектора с геометрией, близкой к  $4\pi$ , регистрировались электроны, возникающие при распаде нейтронов. Другой метод определения периода полураспада нейтрона, основанный на измерении скорости счета протонов, был применен в ранее опубликованной работе [2]. Как нам сейчас очевидно, завышенное значение  $T_{1/2} = 11,7 \pm 0,3$  мин было получено в этой работе вследствие того, что в установке, на пути протонов между ограничительными диафрагмами, давление остаточных газов было в  $10 - 20$  раз выше измеренного авторами вблизи вакуумного насоса. Большое сечение перезарядки ( $\sim 2 \cdot 10^{-15}$  см $^2$ ) должно было приводить к нейтрализации около 10% протонов распада.

Вместе с тем, примененный в работе [2] метод, как нам кажется, позволяет избежать значительных трудностей в корректном определении эффективности и величине компонент фона, способных внести ошибку в результаты.

В настоящем сообщении приводятся основные результаты измерений периода полураспада нейтрона, выполненные указанным методом.

На рис. 1 показана принципиальная схема установки. Камера, изготовленная из нержавеющей стали, обезгаживалась и откачивалась безмасляными насосами. Давление остаточных газов, измеренное в месте прохождения протонов между диафрагмами  $D_1$  и  $D_2$ , не превышало  $(2 \div 3) \times 10^{-8}$  тор. Протоны распада, после прохождения диафрагмы  $D_2$ , ускорялись до 25 кэВ и фокусировались на окно детектора.

Константа распада  $\lambda$  связана с измеряемой скоростью счета протонов  $N_p$ , равенством

$$N_p C \equiv f_p = \lambda \iint q(r) d\Omega dV \dots \quad (1)$$

где  $f_p$  – поток протонов, падающих на диафрагму  $D_2$  и  $q(r)$  – абсолютные значения плотности нейтронов пучка.

Это равенство может быть представлено в виде

$$f_p = \lambda Q_S \epsilon, \quad (2)$$

где  $Q_S$  – абсолютное значение интегральной плотности нейтронов по сечению пучка,  $\epsilon = \iint \rho(r) dV d\Omega / \int \rho(r) dS$  и  $\rho(r)$  – распределение плотности нейтронов по сечению пучка.

к вакуумным насосам

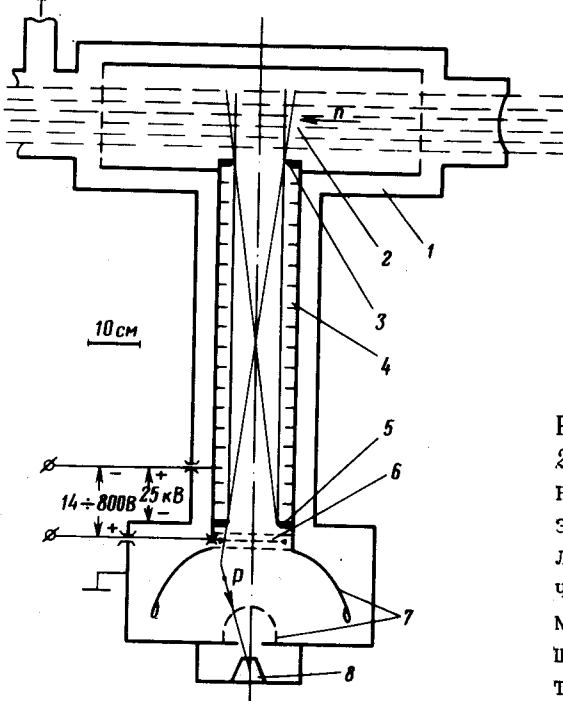


Рис. 1. 1 – Вакуумная камера;  
2 – пучок нейтронов; 3 – ограничительная диафрагма  $D_1$ ; 4 – экран, ограничивающий бесполевое пространство; 5 – ограничивающая диафрагма  $D_2$ ; 6 – тормозящая сетка; 7 – фокусирующие электроды; 8 – детектор протонов

Измерение скорости счета протонов  $N_p$  производилось с помощью пропорционального дрейфового счетчика, наполненного  $\text{CH}_4$  до давления 8 мм. Окно счетчика, диаметром 17 мм, закрывалось органической пленкой толщиной 20 мкгр/см<sup>2</sup>. Контрольные измерения распределения интенсивности протонов по окну счетчика, показали, что 90% интенсивности сосредоточено на диаметре 10мм со спадом до уровня 0,15% на диаметре 13 мм.

Процедура измерений заключалась в попеременном измерении фона при потенциале 800 В на сетке 6 (рис. 1) и суммарной величины эффекта и фона при потенциале 14 В на этой сетке. Подаваемый на сетку 6 потенциал 800 В задерживает все протоны и не меняет величину ни основной компоненты фона, обязанной своим происхождением быстрым нейтронам, ни интенсивности и спектра электронов, которые детектировались счетчиком в первых каналах анализатора. На рис. 2 показаны результаты измерений. Экстраполированное значение скорости счета протонов оказалось равным  $0,848 \text{ сек}^{-1}$  с погрешностью  $\pm 0,23\%$ . В эту величину были введены поправки: одна из них учитывает обратное рассеяние протонов, падающих на пленку окна счетчика (контрольные измерения с источником  $H_1^+$  показали, что величина этой поправки составляет  $0,25 \pm 0,15\%$ ); другая поправка учитывает результаты контрольных опытов на пучке нейтронов, перекрытом заслонкой из Cd, (найдался некоторый избыток в скорости счета –  $(0,27 \pm 0,2)\%$  от ожидаемой интенсивности, соответствующей измеренной плотности нейтронов за Cd).

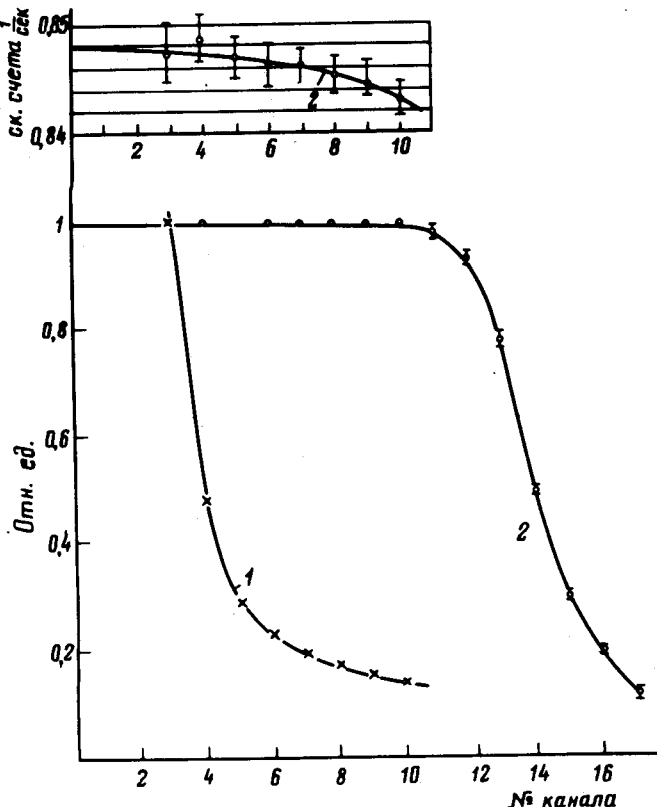


Рис. 2. Интегральный спектр амплитуд импульсов: 1 – фон; 2 – протоны распада

Коэффициент  $C$ , связывающий поток протонов  $f_p$  с измеренной скоростью счета протонов  $N_p$ , учитывает потерю части протонов – 0,36% – с энергией меньшей 14 эВ и поглощение протонов в сетках, проницаемость которых, измеренная теневым методом с помощью источника  $\alpha$ -частиц, оказалась равной  $0,8716 \pm 0,0025$ .

Измерение интегральной плотности нейтронов  $Q_S$  производилось методом активации тонких золотых фольг ( $\sim 14$  мгр/см $^2$ ), полностью перекрывающих пучок нейтронов. Как известно этот метод является в настоящее время наиболее точным и используется для калибровки других индикаторов плотности нейтронов, для которых определение их эффективности и числа атомов мишени встречает значительные трудности.

Контрольные опыты показали, что методические погрешности, возникающие при учете закадмивого эффекта и поправки на отклонения хода сечения от закона  $1/v$ , не превышали  $\pm 0,5\%$ . Измерения абсолютных активностей облученных фольг производились на калибруемой установке  $\beta\gamma$ -совпадений. Погрешность измерений –  $\pm 0,3\%$  была близка к погрешности опорных измерений активности тонкого слоя золота методом  $4\pi\beta\gamma$ -совпадений. Величина  $\epsilon$  была рассчитана на ЭВМ методом Монте-Карло на основании измеренного распределения плотности нейтронов и геометрических параметров установки. Погрешность  $\epsilon$  учитывает погрешность самого расчета, ошибки в знании координат элементов пучка относительно ограничивающих диафрагм и погрешность в измерении диаметров диафрагм и расстояний между ними.

Таблица 1

$f_p$ , сек $^{-1}$	0,976 ± 0,004
$Q_S$ , $10^5$ см $^{-1}$	1,0025 ± 0,0065
$\epsilon$ , $10^{-3}$ см	8,538 ± 0,0024

Подстановка представленных в табл. 1 величин в равенство  $T_{1/2} = \ln 2 / (f_p Q_S \epsilon)$  приводит к значению периода полураспада нейтрона:  $T_{1/2} = 10,13 \pm 0,09$  мин.

Таблица 2

Метод	$\lambda$	Ссылка	Год
$Ft$ — нейтрона и $0^+ \rightarrow 0^+$ перехода	1,279 ± 0,006	настоящая работа	1978
	1,244 ± 0,011	[1]	1972
Электрон-спиновая корреляция	1,258 ± 0,015	[6]	1975
	1,261 ± 0,012	[7]	1977
Электрон-нейтринная корреляция	1,250 ± 0,036	[8]	1975

В табл. 2 приведены значения  $|\lambda| = G_A/G_V$ , полученные различными методами. Данные настоящей работы рассчитаны по методу работы [3] с использованием последних значений  $Ft_{0^+ \rightarrow 0^+} = 3086,6 \pm 3,5$  [4] и  $f_{(n)} = 1,693 \pm 0,002$  [5]; данные работы [1] пересчитаны нами таким же образом.

Авторы выражают свою благодарность П.Н.Орлову за участие в создании установки, А.Ю.Куликову за разработку электронной аппаратуры, а также Ю.В.Гапонову и В.Н.Тихонову за полезные обсуждения результатов.

Авторы благодарны В.Н.Чернышевичу и всему коллективу работников ИРТМ ИАЭ им. И.В.Курчатова, помогавшим в проведении этой многолетней работы.

Институт атомной энергии  
им. И.В.Курчатова

Поступила в редакцию  
28 июля 1978 г..

### Литература

- [1] C.Christensen, A.Nielsen, A.Bahnsen, W.Brown, B.Rustad. Phys. Rev., D5, 1628, 1972.
- [2] А.Н.Сосновский, П.Е.Спивак, Ю.А.Прокофьев, И.Е.Кутиков, Ю.П.Добрынин. ЖЭТФ, 35, 10, 1958.

- [ 3 ] R.J.Blin-Stoyle, J.M.Freeman. Nucl. Phys., A150, 369, 1970.
- [ 4 ] H.Vonach et al. Nucl Phys., A278, 189, 1977.
- [ 5 ] Б.С.Джелепов, Л.Н.Зырянова, Ю.П.Суслов. Бета-процессы. М., Изд. Наука, 1972.
- [ 6 ] V.Krohn, G.Ringo. Phys. Lett., 55B, 175, 1975.
- [ 7 ] Б.Г.Ерозолимский, А.И.Франк, Ю.А.Мостовой, С.С.Арзуманов, Л.Р.Войцик. Точное измерение коэффициента корреляции спин-электрон в распаде поляризованных нейтронов и определение отношения  $G_A/G_V$ . Препринт ИАЗ-2963.
- [ 8 ] R.Dobrozemsky et al. Phys. Rev., D11, 510, 1975.